

## V-7 疲労荷重下における炭素繊維シートの付着特性に関する実験的研究

高松高専専攻科 学生会員 ○本田 陵二  
 高松高専 正会員 長友 克寛  
 豊橋技術科学大学 正会員 角 徹三  
 高松高専 松原 三郎

**1.研究目的** 近年、鉄筋コンクリート構造物の補強・補修材として炭素繊維シート（以下、CFSと略記）の使用機会が増加している。CFSは軽量で強度が高く、耐久性や耐食性にも優れている新素材である。CFSの補強効果については、曲げおよびせん断耐力の向上に関しては既に検証されているが、疲労荷重載荷においてその効果が保証されるか否かに関しては、わずかにスラブ曲げ補強に関する研究が報告されているのみである。本研究は、CFSを貼付した両引試験体を用い、疲労荷重下におけるCFSの付着性状の劣化挙動を実験的に調べることを目的としている。

**2.CFSの付着性状の求め方** 図-1に微小CFS部分に作用する力を示す。CFSとコンクリート間の付着応力度 $\tau_i$ は、この微小部分の力のつり合い式より求められる。 $i$ 番目のひずみゲージ位置のCFSとコンクリート間の相対変位 $S_i$ は、CFSの自由端から $i$ 番目のひずみゲージまでの距離 $X_i$ におけるCFS引張ひずみ分布の積分値として求められる。

**3.実験方法** 表-1にCFSの性質を、表-2に実験概要をそれぞれ示す。図-2に実験に用いた両引試験体を示す。試験体にはその2つの側面にCFSを貼付し、試験体片側半分には剥離しないように周方向にもCFSを貼付した。試験体中央には切り欠きを入れた。CFSには、15mm間隔で14個のひずみゲージを貼付し、その読みを用いて $\tau_i$ および $S_i$ を求めた。試験体は6体作製し、No.1, 2には負荷応力度 $\sigma$ をCFSの剥離破壊まで加え続けた。応力度 $\sigma$ は試験体中央部での値、すなわち負荷重をシート断面積で除した値である。破壊時の $\sigma$ を $\sigma_{\max}$ と記す。残りの試験体には $\sigma$ を周波数3Hzの正弦波として与えた。その振幅は、試験体No.3:  $0.1\sigma_{\max} \sim 0.8\sigma_{\max}$ , No.4:  $0.1\sigma_{\max} \sim 0.6\sigma_{\max}$ , No.5:  $0.3\sigma_{\max} \sim 0.6\sigma_{\max}$ , No.6:  $0.5\sigma_{\max} \sim 0.8\sigma_{\max}$ とした。

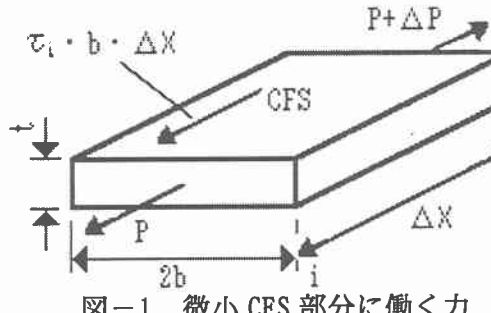


図-1 微小CFS部分に働く力

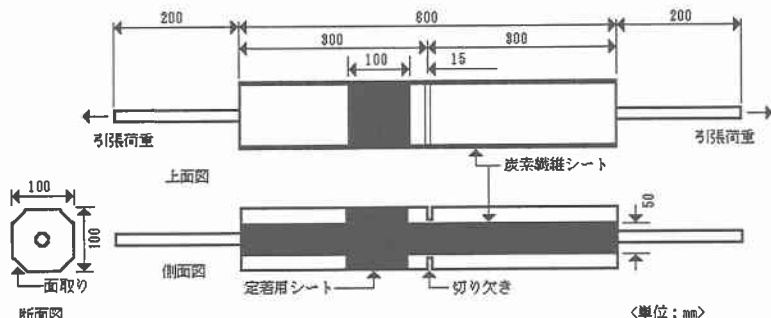


図-2 試験体の形状と寸法

表-1 CFSの性質

CFSの特性 (菱美製 AUC-TH30)	カタログ値
目付け量(g/m <sup>2</sup> )	300
平均引張強度(MPa)	4200
保証引張強度(MPa)	3400
引張弾性率(GPa)	230
設計厚さ(mm)	0.167

表-2 実験概要

試験体No.	最大応力度 $\sigma_{\max}$ (MPa)	最小応力度 $\sigma_{\min}$ (MPa)	剥離開始応力度 $\sigma_s$ (MPa)	疲労寿命 N(回)	圧縮強度 $f_c'$ (MPa)
1	1429	0	626	1	26.9
2	1337	0	623	1	27.2
3	1108	120	654	2559	26.7
4	838	120	661	12402	26.8
5	838	419	616	122382	27.6
6	1108	689	765	5501	25.8

## 4. 実験結果及び考察

### 4.1 付着応力度 $\tau$

図-3に、試験体No.4の最大応力度 ( $0.6\sigma_{o\max}$ ) 時を対象とし、載荷回数  $n$  の増加に伴うCFS軸に沿う  $\tau$  分布の推移を示す。ここに、横軸Xは試験体中央からの距離を示す。 $n \leq 1000$  回では  $\tau$  分布にはほとんど違いはない、 $X=60\text{mm}$ 付近に  $\tau$  のピーク値が生じている。しかし  $n \geq 5000$  回では付着劣化が生じ、 $\tau$  のピーク位置はCFSの自由端へと移動し、しかも  $\tau$  のピーク値は減少する。

### 4.2 付着応力度 $\tau$ - 相対変位 $S$ 関係

図-4に、試験体No.4における  $X=30\text{mm}$  の位置を対象とし、 $n$  の増加に伴う  $\tau$ - $S$  関係の推移を示す。 $n$  の増加に伴い、CFSの剥離が進行するため、各ピーク時の  $\tau$  は減少し、 $S$  は増加している。これにより、CFSの剥離が進行していることがわかる。 $n \geq 1000$  回では、 $\tau$  が  $\approx 0$  で、 $S$  のみ増加している。これは、 $X \leq 30\text{mm}$  におけるCFSが完全剥離していることを意味している。

図-5に、同じ試験体No.4における  $X=135\text{mm}$  の位置を対象とし、 $n$  の増加に伴う  $\tau$ - $S$  関係の推移を示す。 $n \leq 5000$  回では、 $X < 135\text{mm}$  におけるCFSが応力を負担しているため、 $\tau \approx 0$  である。 $n \geq 10000$  回になると、 $X < 135\text{mm}$  におけるCFSの剥離が進行するため  $\tau$  は大きくなる。しかし、 $\tau$ - $S$  関係は破壊直前までほぼ弾性的な挙動を示している。

### 4.3 負荷応力度 $\sigma$ - 疲労寿命 $N$ 関係

図-6は、負荷応力度  $\sigma$  と疲労寿命  $N$  (常用対数表示)との関係を示している。 $N$  は、最大応力度  $\sigma_{\max}$  が小さくなるにしたがって、ほぼ直線的に増加している。試験体No.5とNo.6より、負荷応力度振幅  $\sigma_r$  が同じ場合は  $\sigma_{\max}$  が小さいNo.5が、No.4とNo.5より、 $\sigma_{\max}$  が同じ場合は  $\sigma_r$  の小さいNo.5が、またNo.3とNo.4より、最小応力度  $\sigma_{\min}$  が同じ場合  $\sigma_r$  の小さいNo.4が、 $N$  はそれぞれ大きい。これらは、一般的な疲労試験で見られる傾向と一致している。

**5. 結論** 本研究の結果、以下のことが明らかとなつた。1) 負荷重の繰返し回数の増加に伴い、CFSの付着応力度分布のピークは、値を減少させながら

自由端へと移動する。2) 疲労荷重下での局部付着応力度-相対変位関係は、試験体中央部では次第にへん平な曲線形状へと移行するが、試験体端部では破壊直前まで弾性的である。3) 疲労荷重下によるCFSの付着強度の変化は、他の構造材料におけるものと定性的には同じである。

**謝辞** 本研究は、南海育英会教育研究助成の援助を得て行ったものである。また、炭素繊維シートは株式会社菱晃よりご提供頂いた。ここに、関係各位に謝意を表する。

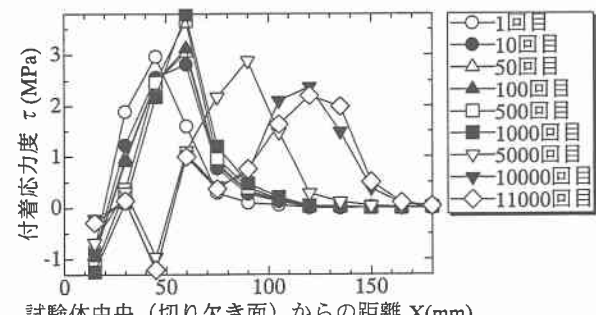


図-3 付着応力度  $\tau$  分布  
(試験体 No.4,  $0.6\sigma_{omax}$  時)

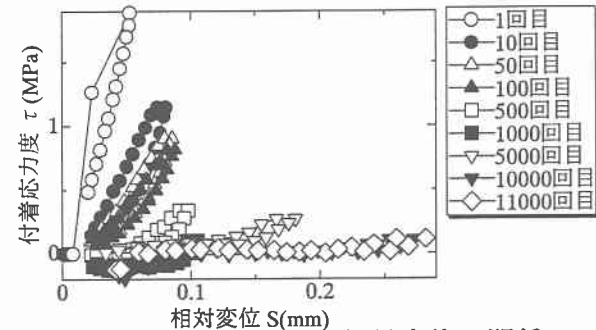


図-4 付着応力度  $\tau$  - 相対変位  $S$  関係  
(試験体 No.4,  $X=30\text{mm}$ )

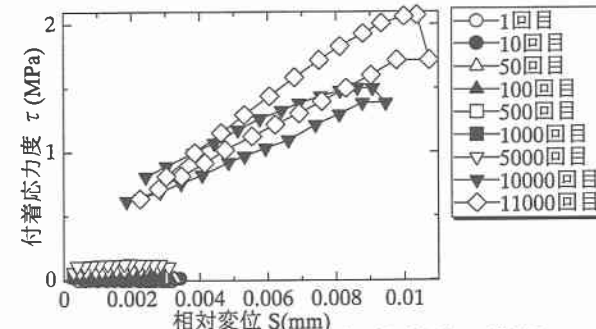


図-5 付着応力度  $\tau$  - 相対変位  $S$  関係  
(試験体 No.4,  $X=135\text{mm}$ )

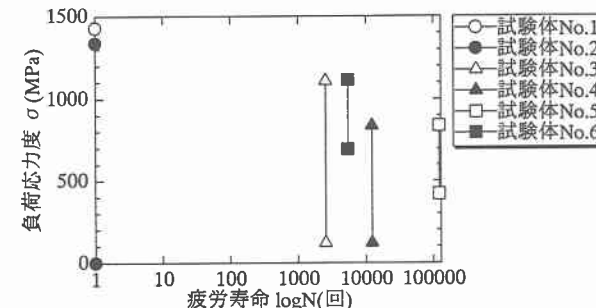


図-6 負荷応力度  $\sigma$  - 疲労寿命  $N$  関係